

# DS SCIENCES PHYSIQUES MATHSPÉ

**calculatrice: autorisée**

**durée: 4 heures**

## Sujet

Turbine à vapeur.....	2
I. Préliminaires en quatre parties.....	2
A. Diagramme de Clapeyron du système liquide-vapeur de l'eau.....	2
B. Étude très simplifiée de l'enthalpie et de l'entropie d'un système liquide-vapeur.....	2
C. Détermination de grandeurs à partir du tableau.....	3
D. Détente adiabatique réversible d'un système liquide-vapeur.....	4
II. Modèle de fonctionnement d'une turbine à vapeur: cycle de Rankine.....	4
III. Cycle de Rankine avec soutirage.....	6
Spectrométrie interférentielle de Michelson.....	9
I. Interféromètre de Michelson.....	9
II. Source monochromatique.....	10
III. Raie à spectre rectangulaire.....	10
IV. Doublet pour deux radiations d'égales contributions.....	11
V. Doublet pour deux radiations de contributions inégales.....	11
VI. Analyse de la raie Ho.....	12

*On soignera particulièrement les applications numériques en thermodynamique, le barème accordant une grosse partie des points aux résultats numériques.*

# Turbine à vapeur

Ce problème a pour objectif l'étude d'une turbine à vapeur fonctionnant selon le cycle de Rankine.

Ce problème ne fait pas intervenir de gaz parfaits. En conséquence, la loi  $Pv = rT$  n'a pas lieu d'être utilisée ici.

## I. Préliminaires en quatre parties

### A. Diagramme de Clapeyron du système liquide-vapeur de l'eau.

On désigne par  $P$  la pression du système liquide-vapeur et par  $v$  son volume massique.

1. Représenter l'allure du diagramme de Clapeyron  $(P, v)$  de l'eau. Représenter, sur ce diagramme l'allure de l'isotherme critique  $T_{Crit}$  et l'allure d'une isotherme. Préciser la position du point critique  $Crit$ . Préciser l'allure de l'isotherme critique au niveau du point  $Crit$ .
2. Indiquer sur le diagramme les domaines liquide  $(L)$ , liquide + vapeur  $(L+V)$ , et vapeur  $(V)$ .
3. Justifier la présence d'un palier sur l'isotherme  $T < T_{Crit}$ . Commenter.
4. On rappelle que le titre massique en vapeur  $x$  d'un système liquide-vapeur est égal au rapport entre la masse  $m_G$  d'eau à l'état de vapeur saturante et la masse totale  $m$  du système. On désigne, respectivement par :

$v_L$  : volume massique du liquide saturant

$h_L$  : enthalpie massique du liquide saturant

$v_G$  : volume massique de la vapeur saturante

$h_G$  : enthalpie massique de la vapeur saturante

$v$  : volume massique du système liquide-vapeur

$h$  : enthalpie massique du système liquide-vapeur

- Démontrer avec soin que le titre massique en vapeur  $x$  est donné par la relation:

$$x = \frac{(v - v_L)}{(v_G - v_L)}$$

- Idem pour la relation:

$$x = \frac{(h - h_L)}{(h_G - h_L)}$$

5. On désigne par  $l_v(T)$  la chaleur latente massique de vaporisation à la température  $T$ . Rappeler la relation reliant  $l_v(T)$  à  $h_G(T)$  et  $h_L(T)$ .

### B. Étude très simplifiée de l'enthalpie et de l'entropie d'un système liquide-vapeur

On s'intéresse ici à l'enthalpie et à l'entropie d'un kilogramme de fluide.

L'eau liquide étant très peu compressible et de volume massique négligeable par rapport au volume massique de l'eau vapeur, on admet dans cette partie que son état ne dépend que de la température  $T$ . On admet de plus que la capacité thermique massique  $c_L$  de l'eau liquide est une constante. Ces approximations sont fort exagérées et les résultats obtenus dans cette partie sont donc très approchés.

6. Déterminer l'enthalpie massique de l'eau liquide  $h_L(T)$  à la température  $T$ , en supposant connue l'enthalpie massique  $h_L(T_0)$  de l'eau liquide à une température  $T_0$ , en fonction de  $T$ ,  $T_0$ ,  $c_L$ ,  $h_L(T_0)$ .
7. En déduire l'enthalpie massique  $h(T)$  du mélange eau liquide-vapeur d'eau en équilibre à la température  $T$ , dont le titre massique de vapeur est  $x$ , en fonction de  $T$ ,  $T_0$ ,  $c_L$ ,  $x$ ,  $l_v(T)$ ,  $h_L(T_0)$ .
8. Déterminer l'entropie massique de l'eau liquide  $s_L(T)$  à la température  $T$  en supposant connue l'entropie massique  $s_L(T_0)$  de l'eau liquide à une température  $T_0$ .
9. En déduire l'entropie massique  $s(T)$  du mélange eau liquide-vapeur d'eau en équilibre à la température  $T$ , dont le titre massique de vapeur est  $x$ , en fonction de  $T$ ,  $T_0$ ,  $c_L$ ,  $x$ ,  $l_v(T)$ ,  $s_L(T_0)$ .

(Les résultats de cette étude ne sont pas utilisés dans les parties II et III).

### C. Détermination de grandeurs à partir du tableau

10. En partant du tableau de données et de l'étude très simplifiée précédente, déterminer par régression linéaire la valeur numérique de  $c_L$  (5 chiffres significatifs et unité). Les 5 points vous « semblent-ils tous vérifier l'hypothèse » ?
11. En partant du tableau suivant, déterminer par régression linéaire la valeur numérique de  $A$  et  $B$  si on pose  $l_v(T) = A - B \times T$  (5 chiffres significatifs et unités). Les 5 points vous « semblent-ils tous vérifier l'hypothèse » ?

(Les résultats de cette étude ne sont pas utilisés dans la suite).

$\theta$ °C	$P_{sat}$ bar	Liquide saturant		Vapeur saturante	
		$v_L$ ( $m^3 \cdot kg^{-1}$ )	$h_L$ ( $kJ \cdot kg^{-1}$ )	$v_G$ ( $m^3 \cdot kg^{-1}$ )	$h_G$ ( $kJ \cdot kg^{-1}$ )
35	0,056	$1,00 \cdot 10^{-3}$	146,34	25,24	2560,67
50	0,123	$1,01 \cdot 10^{-3}$	208,96	12,04	2587,42
100	1,013	$1,04 \cdot 10^{-3}$	418,42	1,673	2671,44
185	11,238	$1,13 \cdot 10^{-3}$	784,17	0,174	2778,03
285	69,200	$1,35 \cdot 10^{-3}$	1261,11	0,028	2768,83

*tableau de données*

$\theta$  : température en degré Celsius avec  $T(K) = \theta(^{\circ}C) + 273,15$

$P_{sat}$  : pression de vapeur saturante

**D. Détente adiabatique réversible d'un système liquide-vapeur**

On dispose d'un cylindre indéformable muni d'un piston. Le cylindre et le piston ont des parois calorifugées. Le piston est, initialement, fixé dans une position qui délimite un volume  $V = 10 \text{ litres}$  dans le cylindre. L'introduction d'une masse  $m = 10 \text{ g}$  d'eau dans le cylindre permet d'obtenir un système liquide-vapeur en équilibre à la température  $\theta = 100^{\circ}C$ .

12. En utilisant les données du *tableau de données* (colonnes  $v_L \text{ (m}^3 \cdot \text{kg}^{-1})$  et  $v_G \text{ (m}^3 \cdot \text{kg}^{-1})$ ), calculer le titre massique en vapeur  $x$  de ce système. On rappelle que la vapeur d'eau n'est pas assimilée ici à un gaz parfait.

On fait subir au système liquide-vapeur défini ci-dessus une détente adiabatique réversible de la température  $\theta = 100^{\circ}C$  à la température  $\theta' = 50^{\circ}C$ .

On admet que l'entropie massique d'un système liquide-vapeur, de titre massique en vapeur  $x$ , en équilibre à la température  $T$  est donnée (par rapport à une référence arbitraire) par la relation:

$$s(x, T) = c \ln T + l_v(T) \frac{x}{T}, \text{ dans laquelle } c \text{ désigne une grandeur constante. On prendra } c = 4,20 \text{ kJ} \cdot \text{kg}^{-1} \cdot \text{K}^{-1}.$$

13. Déterminer (expression littérale puis application numérique) le titre massique en vapeur  $x'$  du système liquide-vapeur à la fin de la détente.

14. Quel titre massique en vapeur  $x'$  aurait-on dû avoir, à la température  $\theta = 100^{\circ}C$  pour qu'au cours de la détente définie ci-dessus ce titre reste constant? (Expression littérale puis application numérique).

**II. Modèle de fonctionnement d'une turbine à vapeur: cycle de Rankine**

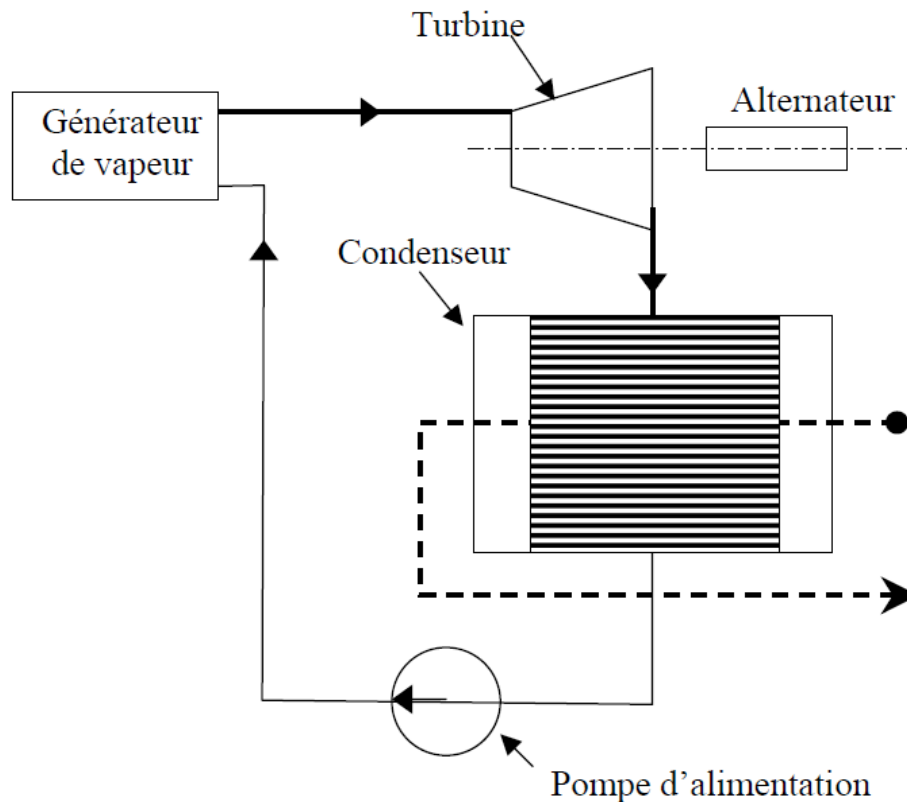
*Données:*

- Dans la suite du problème tous les calculs se rapporteront à une masse  $m = 1 \text{ kg}$  de fluide.
- On admet que l'entropie massique d'un système liquide-vapeur, de titre massique en vapeur  $x$ , en équilibre à la température  $T$  est donnée par la relation:  
 $s(x, T) = c \ln T + l_v(T) \frac{x}{T}$  dans laquelle  $c$  est une constante. La formule est, bien entendu, utilisable aux limites pour la vapeur saturante ( $x = 1$ ) ou pour le liquide saturant ( $x = 0$ ). On prendra  $c = 4,20 \text{ kJ} \cdot \text{kg}^{-1} \cdot \text{K}^{-1}$ .
- On utilise aussi le *tableau de données* - voir plus haut -.

Le circuit secondaire d'une centrale nucléaire comporte les éléments suivants: un générateur de

vapeur, une turbine, un condenseur et une pompe d'alimentation ( *figure 1* ). Les transformations subies par l'eau dans ce circuit sont modélisées par le cycle de Rankine décrit ci-dessous.

- $A \rightarrow B$  : compression adiabatique réversible, dans la pompe d'alimentation, de la pression  $P_1 = 0,056 \text{ bar}$  à la pression  $P_2 = 69,200 \text{ bar}$ , du liquide saturant sortant du condenseur à la pression  $P_1$  ( *état A* ). Cette compression entraîne une élévation  $\Delta T$  de la température du liquide.
- $B \rightarrow C$  : échauffement isobare du liquide dans le générateur de vapeur qui amène le liquide de l' *état B* à l'état de liquide saturant sous la pression  $P_2$  ( *état C* ).
- $C \rightarrow D$  : vaporisation totale, dans le générateur de vapeur, sous la pression  $P_2$ . Dans l' *état D*, le fluide se trouve à l'état de vapeur saturante.
- $D \rightarrow E$  : détente adiabatique réversible, dans la turbine, de  $P_2$  à  $P_1$ . Dans l' *état E*, le fluide se trouve à l'état de fluide diphasé.
- $E \rightarrow A$  : liquéfaction totale du fluide, dans le condenseur, sous la pression  $P_1$ .



**Figure 1**

- Rappeler l'expression du premier principe pour un kg de fluide en écoulement permanent.
- Représenter avec soin le cycle décrit par l'eau dans le diagramme de Clapeyron ( $P, v$ ). Indiquer le sens dans lequel ce cycle est décrit. Indiquer les points  $A, B, C, D, E$ .
- Qualifier chacune des cinq transformations par un ou si possible deux des qualificatifs suivants:

isentropique, isobare, isotherme.

18. Donner la valeur numérique des enthalpies massiques  $h_A$ ,  $h_C$ ,  $h_D$ .

19. Déterminer les entropies massiques  $s_A$ ,  $s_B$ ,  $s_C$ ,  $s_D$ ,  $s_E$ .

20. Calculer le titre  $x_E$  et l'enthalpie massique  $h_E$  du système liquide-vapeur sortant de la turbine.

21. A partir des enthalpies massiques, calculer la quantité d'énergie  $q_{EA}$  reçue par kg d'eau, par transfert thermique dans le condenseur.

22. On étudie ici la compression  $A \rightarrow B$  dans la pompe.

- Rappeler l'expression de la différentielle de l'enthalpie massique  $dh$  avec  $h = h(s, P)$ .
- En déduire  $\Delta h_{AB} = h_B - h_A$  (formule littérale puis application numérique). On fera ici l'approximation que le liquide est incompressible (isochorique) c'est à dire que le volume massique du liquide de l'eau reste constant sur l'intervalle de pression considéré et on prendra  $v_L = 10^{-3} \text{ m}^3 \cdot \text{kg}^{-1}$ .
- Calculer  $h_B$ .
- La différentielle de l'entropie massique  $ds$  du liquide avec  $s = s(T, P)$  s'écrit (sans faire ici d'approximation) en fonction des variables  $T$  et  $P$  :  $ds = c_L \frac{dT}{T} - \alpha v_L dP$ .  
On suppose ici que la capacité thermique du liquide est constante  $c_L = 4,20 \text{ kJ} \cdot \text{kg}^{-1} \cdot \text{K}^{-1}$  et que le coefficient de dilatation isobare  $\alpha$  de l'eau liquide est constant  $\alpha = 1,5 \cdot 10^{-4} \cdot \text{K}^{-1}$ . On note  $\Delta T$  l'élévation de la température du liquide dans la pompe d'alimentation avec  $\Delta T \ll T$ . Exprimer puis calculer  $\Delta T$ . Commenter.

23. Calculer la quantité d'énergie  $q_{BD}$  reçue par kg d'eau, par transfert thermique dans le générateur de vapeur.

24. Calculer le travail  $w$  reçu par kg d'eau au cours du cycle.

25. Calculer l'efficacité  $\eta$  (ou rendement thermodynamique) du cycle. Comparer cette efficacité à celle  $\eta_{Carnot}$  d'un cycle de Carnot décrit entre les mêmes températures extrêmes. On redémontrera l'expression de  $\eta_{Carnot}$ .

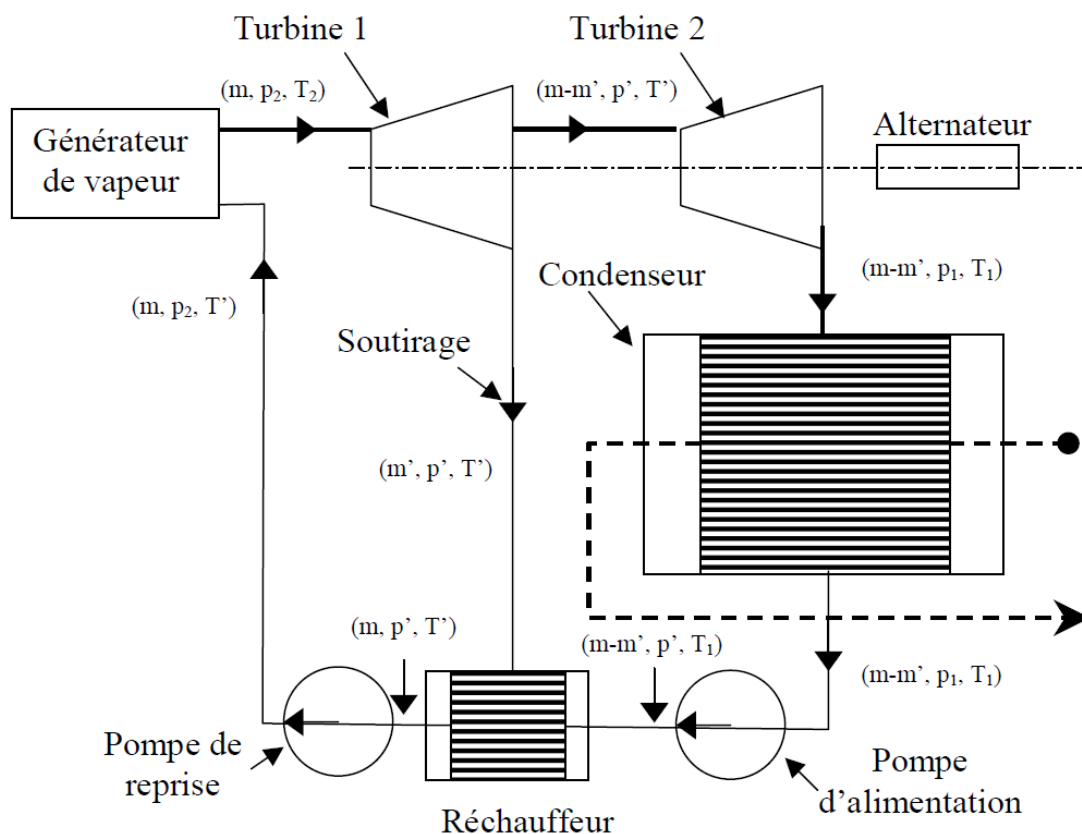
26. Vérifier que si l'on néglige la variation d'enthalpie  $\Delta h_{AB}$ , le travail  $w$  peut s'exprimer en fonction des enthalpies massiques du fluide à l'entrée et à la sortie de la turbine. Commenter.

### III. Cycle de Rankine avec soutirage

On se propose de modifier l'installation par l'adjonction d'une deuxième turbine et la pratique du soutirage qui a pour but de réchauffer le liquide avant qu'il soit réinjecté dans le générateur de vapeur.

La pratique du soutirage consiste à prélever, à la sortie d'une première turbine, sous la pression  $P' = 11,238 \text{ bar}$ , une masse  $m'$  du fluide. La masse restante  $m - m'$  poursuit la détente dans la deuxième turbine jusqu'à la pression  $P_1$ .

- Cette masse  $m'$  de fluide est envoyée dans un réchauffeur. Le fluide y est mis en contact, par l'intermédiaire d'un échangeur, avec la masse  $m - m'$  de liquide saturant issu du condenseur, qui a été, préalablement, comprimé de  $P_1$  à  $P'$  par la pompe d'alimentation ( *figure 2* ). Au cours de cette opération la masse  $m'$  de fluide se liquéfie sous la pression constante  $P'$ . L'énergie ainsi libérée est entièrement utilisée pour réchauffer la masse  $m - m'$  de liquide de la température  $T_1$ , atteinte à la sortie du condenseur, à la température  $T'$ .
- A la sortie du réchauffeur la masse  $m$  de fluide se trouve à l'état liquide saturant dans les conditions  $T'$ ,  $P'$ .
- Une pompe de reprise comprime cette masse  $m$  de liquide, de manière adiabatique, de  $P'$  à  $P_2$  puis le refoule dans le générateur de vapeur où il subit un échauffement isobare de  $T'$  à  $T_2$  avant de se vaporiser de nouveau.



**Figure 2**

Dans cette étude, on négligera la variation d'enthalpie massique apportée au fluide par les pompes.

27. Représenter le cycle de Rankine avec soutirage dans le diagramme de Clapeyron ( $P, v$ ). On représentera en trois couleurs selon que la transformation concerne  $m'$  seule,  $(m - m')$  seule

ou toute la masse  $m$  .

28. Calculer le titre  $x_2$  et l'enthalpie  $h_2$  du système liquide-vapeur à la fin de la deuxième détente.
  29. Calculer le titre  $x_1'$  et l'enthalpie massique  $h_1'$  du système liquide-vapeur à la fin de la première détente.
  30. A partir d'un bilan enthalpique traduisant les transferts thermiques dans le réchauffeur entre la masse  $m'$  de fluide et le liquide de masse  $m - m'$  , calculer  $m'$  .
  31. Calculer le travail total  $w_s$  reçu, par kg de fluide au cours d'un cycle avec soutirage.
  32. Calculer l'efficacité  $\eta_s$  (ou rendement) du cycle avec soutirage. Conclure.
-



# Spectrométrie interférentielle de Michelson

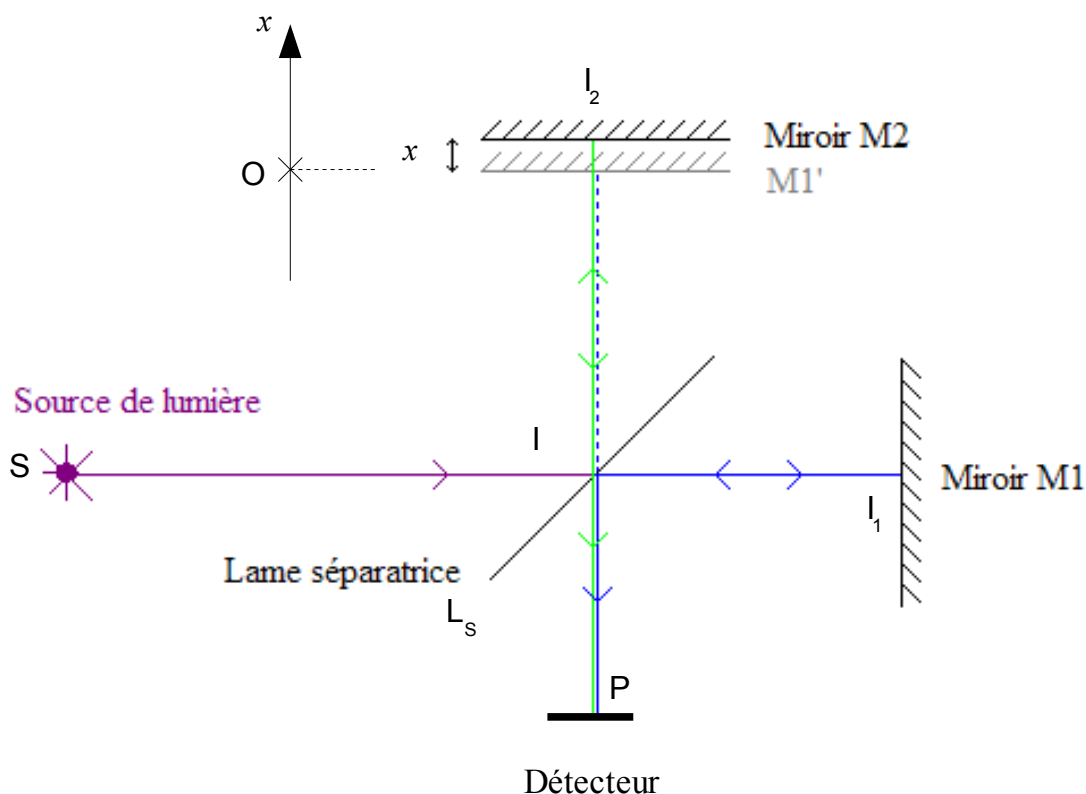
Nous proposons de reprendre l'étude spectrale de sources lumineuses, telle qu'elle a été initialement menée par Michelson en 1891, en spectrométrie interférentielle.

Donnée :

Vitesse de la lumière dans le vide  $c = 2,997\,792\,458 \cdot 10^8 \text{ m.s}^{-1} \approx 3 \cdot 10^8 \text{ m.s}^{-1}$

## I. Interféromètre de Michelson

On éclaire la lame semi-transparente ou séparatrice  $L_S$ , supposée infiniment mince, d'un interféromètre de Michelson avec une source ponctuelle  $S$ . Celle-ci envoie un pinceau lumineux dans le voisinage du centre  $I$  de  $L_S$  ; l'un des miroirs  $M_1$  est fixe, alors que le second  $M_2$  est mobile selon une direction  $Ox$  normale à son plan. Le centre  $I_1$  de  $M_1$ ,  $S$  et  $I$  sont alignés.



Un détecteur est placé en un point  $P$ , de telle sorte que sa faible surface de détection soit normale à la direction  $I_2I$ , laquelle est définie par  $I$  et le centre  $I_2$  de  $M_2$ . Les deux

rayons, l'un transmis par la séparatrice, réfléchi sur  $M_1$ , réfléchi sur la séparatrice:  $SI I_1 I P$  et l'autre réfléchi sur la séparatrice, réfléchi sur  $M_2$ , transmis par la séparatrice:  $SI I_2 I P$ , sont cohérents, de même intensité et interfèrent en  $P$ .

Le détecteur enregistre l'intensité de l'onde résultant de l'interférence des deux rayons.

Sur le schéma, on a aussi dessiné  $M'_1$  symétrique du miroir  $M_1$  par rapport à la séparatrice (il n'y a pas de miroir  $M'_1$ ).

1. On désigne par  $x$  le déplacement du miroir  $M_2$ , compté à partir de la distance minimale de  $II_2$  égale à  $II_1$ . Montrer que, si on suppose que l'air est assimilable au vide, la différence de marche entre les deux rayons qui interfèrent en  $P$  est  $\delta = 2x$ .

## II. Source monochromatique

On se place dans le cas où la source émet une onde monochromatique, dont la fréquence  $\nu_0$  correspond à la longueur d'onde  $\lambda_0 = 550 \text{ nm}$ .

2. Calculer  $\nu_0$ . Quelle est la couleur de cette radiation ?
3. Montrer, en partant de l'expression de l'amplitude des ondes, que l'intensité de l'onde détectée a pour expression :  $I(\tau) = \frac{I(0)}{2} [1 + \cos(2\pi\nu_0\tau)]$  où  $\tau$  est une durée que l'on exprimera en fonction de  $x$  et de la vitesse  $c$  de la lumière dans le vide. On a posé  $I(0) = I(\tau=0)$ .

## III. Raie à spectre rectangulaire

La source est une lampe à vapeur de cadmium qui émet un groupe d'ondes monochromatiques, centré autour d'une fréquence moyenne  $\nu_0$  correspondant à la longueur d'onde  $\lambda_0 = 643,8 \text{ nm}$ .

On désigne par  $I_\nu(\nu)$  l'intensité spectrale de la source, c'est-à-dire la contribution relative de chaque fréquence à l'intensité de l'onde émise par la source. On pose ici  $dI(0) = I_\nu(\nu) d\nu$ . En 1892, Michelson a déterminé la largeur totale à mi-hauteur  $\Delta\nu_{1/2}$  de cette radiation en adoptant un modèle rectangulaire pour  $I_\nu(\nu)$  centré sur la fréquence  $\nu_0$  :

$$I_\nu(\nu) = A \quad \text{pour} \quad \nu_0 - \frac{\Delta\nu_{1/2}}{2} \leq \nu \leq \nu_0 + \frac{\Delta\nu_{1/2}}{2} \quad \text{et} \\ I_\nu(\nu) = 0 \quad \text{autrement}.$$

4. Calculer  $\nu_0$ . Quelle est la couleur de cette radiation ?
5. Montrer que l'intensité détectée peut se mettre sous la forme :  $I(\tau) = \frac{I(0)}{2} [1 + \gamma_t(\tau) \cos(2\pi\nu_0\tau)]$ ,  $\gamma_t(\tau)$  étant une fonction que l'on déterminera. Préciser l'expression de  $I(0)$  en fonction de  $A$  et  $\Delta\nu_{1/2}$ .
6. Démontrer l'expression du facteur de visibilité des franges d'interférence, c'est-à-dire la quantité  $V = \frac{(I_M - I_m)}{(I_M + I_m)}$ ,  $I_M$  étant l'intensité maximale et  $I_m$  l'intensité minimale au voisinage de la valeur  $\tau$ .

7. Tracer l'allure des graphes  $|y_t(\tau)|$  et  $I(\tau)$  en précisant les valeurs remarquables.
8. En augmentant  $x$  à partir d'une valeur nulle, on obtient une première annulation de  $V$  pour  $x = 15,9 \text{ cm}$ .
- Quelle valeur  $\Delta \nu_{1/2}$  Michelson a-t-il obtenu (formule littérale puis application numérique) ?
  - Calculer  $L_t = c / \Delta \nu_{1/2}$  appelée longueur de cohérence temporelle.
  - En déduire l'écart en longueur d'onde  $\Delta \lambda_{1/2}$  correspondant, formule littérale puis application numérique (en picomètre).

#### IV. Doublet pour deux radiations d'égales contributions

La source précédente est remplacée par une lampe à vapeur de mercure qui émet deux radiations, de fréquences respectives :  $\nu_1 = \nu_0 - \frac{\Delta \nu_{1/2}}{2}$  et  $\nu_2 = \nu_0 + \frac{\Delta \nu_{1/2}}{2}$  et dont les contributions en intensité dans le plan d'observation sont égales. On pose donc  $I_1(0) = I_2(0)$ . La longueur d'onde correspondant à  $\nu_0$  est  $\lambda_0 = 578 \text{ nm}$ .

9. Calculer  $\nu_0$ . Quelle est la couleur de cette radiation ?
10. Montrer que l'intensité détectée est donnée par la même expression que précédemment, mais  $y_t(\tau)$  est une fonction différente que l'on déterminera. Préciser  $I(0)$  en fonction de  $I_1(0) = I_2(0)$ .
11. En déduire le facteur de visibilité ainsi que les graphes  $|y_t(\tau)|$  et  $I(\tau)$ .
12. Entre les deux premières valeurs de  $\tau$  qui annulent  $V$ , on compte 277 pics d'intensité. En déduire  $\Delta \nu_{1/2}$ ,  $L_t$  et  $\Delta \lambda_{1/2}$ .
13. Une analyse attentive du graphe  $V(\tau)$ , obtenu expérimentalement, montre que  $V$  décroît lorsque  $\tau$  augmente. Proposer une interprétation physique simple et déterminer la nouvelle expression de  $y_t(\tau)$  en utilisant les résultats de la partie III.

#### V. Doublet pour deux radiations de contributions inégales

On considère une source qui émet aussi deux radiations, de fréquences respectives  $\nu_1 = \nu_0 - \frac{\Delta \nu_{1/2}}{2}$  et  $\nu_2 = \nu_0 + \frac{\Delta \nu_{1/2}}{2}$  mais de contributions différentes :  $I_1(0)$  et  $I_2(0) = \mu I_1(0)$ ,  $\mu$  étant un facteur positif.

14. Montrer que l'intensité détectée peut se mettre sous la forme :
- $$I(\tau) = \frac{I(0)}{2} [1 + \Re \{ \underline{y}_t(\tau) \exp(2i\pi\nu_0\tau) \}] \quad \text{où}$$
- $$\underline{y}_t = C1 \exp(-i\pi\Delta\nu_{1/2}\tau) + C2 \exp(i\pi\Delta\nu_{1/2}\tau) \quad \nu_0 \text{ étant la fréquence moyenne } \frac{(\nu_1 + \nu_2)}{2}$$
- et  $\Delta \nu_{1/2}$  la différence des fréquences  $(\nu_2 - \nu_1)$  et  $(C1, C2)$  deux facteurs à déterminer en

fonction de  $\mu$  .

15. Exprimer la partie réelle, la partie imaginaire, le module et l'argument  $\alpha_t$  de  $\chi_t$  .
16. Quelle relation existe-t-il entre le facteur de visibilité  $V$  des franges d'interférence et  $\chi_t$  ?  
Donner l'expression de  $V$  en fonction de  $\mu$  et de  $\cos(\pi \Delta \nu_{1/2} \tau)$  .
17. Trouver, en fonction de  $\mu$  , les valeurs minimale  $V_m$  et maximale  $V_M$  de  $V$  lorsque  $\tau$  varie. Donner l'allure du graphe  $V(\tau)$  .
18. Que deviennent  $V$  et  $\alpha_t$  dans les cas extrêmes où  $\mu=0$  et  $\mu=1$  ? Commenter.

## VI. Analyse de la raie $H_\alpha$

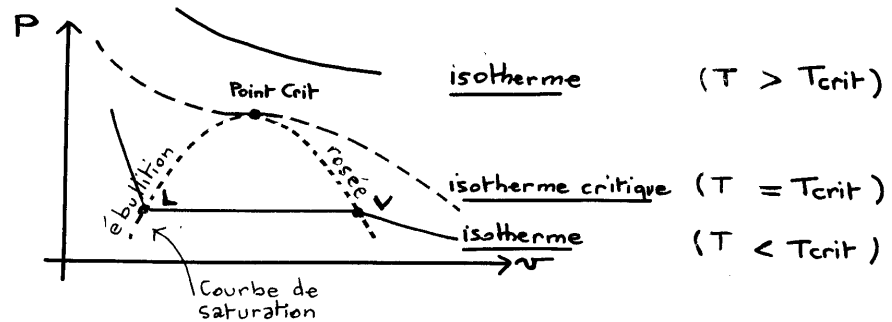
L'analyse fine de la raie  $H_\alpha$  de la série de Balmer de l'atome d'hydrogène révèle que cette radiation est constituée d'un doublet non symétrique, car le facteur de visibilité  $V$  varie avec  $\tau$  comme le montre le graphe précédent, mais  $V_m$  n'est pas nul. La longueur d'onde, associée à la moyenne des fréquences, est  $\lambda_0 = 656,3 \text{ nm}$  , Michelson a constaté que la première valeur minimale du facteur de visibilité était atteinte pour  $x = 8,5 \text{ mm}$  et valait 0,15 .

19. Calculer la fréquence  $\nu_0$  de la radiation de longueur d'onde  $\lambda_0$  .
20. Trouver  $\Delta \nu_{1/2}$  et  $\Delta \lambda_{1/2}$  en précisant leurs unités.
21. En déduire  $\mu$  et  $\alpha_t$  .
-

## Réponses

### Turbine à vapeur

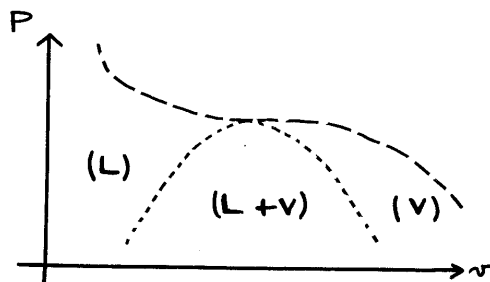
1)



Au niveau du point critique, l'isotherme critique est à tangente horizontale avec point d'inflexion

$$\left( \frac{\partial P}{\partial v} \right)_{T_{crit}} = 0 \quad \text{et} \quad \left( \frac{\partial^2 P}{\partial v^2} \right)_{T_{crit}} = 0$$

2)



- 3) Sur l'isotherme  $T < T_c$  donc à température constante, au niveau du domaine diphasé, il y a changement d'état. Pour un corps pur, ce changement d'état a lieu à P constante d'où le palier à la pression de vapeur saturante

$$P = P_{SAT}^*(T)$$

(en lien avec variance pour fluide pur diphasé = 1 donc si T est fixé, P est connu).

$$\begin{aligned} 4) \quad V &= V_{\text{Liquide}} + V_{\text{vapeur}} \\ m v &= m_L v_L + m_G v_G \end{aligned}$$

$$\text{avec } x = \frac{m_G}{m}$$

$$\text{et } m = m_L + m_G$$

$$v = (1-x) v_L + x v_G$$

$$x = \frac{v - v_L}{v_G - v_L}$$

Pour l'enthalpie, la démonstration est identique

$$H = H_{\text{Liquide}} + H_{\text{vapeur}}$$

$$h = (1-x) h_L + x h_G$$

$$x = \frac{h - h_L}{h_G - h_L}$$

$$5) \quad h_v(T) = h_G(T) - h_L(T)$$

(cf  $Q_P = \Delta H$ , le changement d'état a lieu à pression constante)

$$6) \quad dh_L = c_L dT + \underbrace{\dots dP}_{\text{on néglige ce terme ici}}$$

$$\int_{T_0}^T dh_L = \int_{T_0}^T c_L dT$$

$$h_L(T) - h_L(T_0) = c_L (T - T_0)$$

$$h_L(T) = c_L (T - T_0) + h_L(T_0)$$

7) deux méthodes :

→ soit, à partir du  $h_L(T)$  trouvé en 5), on vaporise  $x$  kg :

$$h(T) = h_L(T) + x l_v(T)$$

→ soit, on part de 4) (et 5) et 6) :

$$h(T) = (1-x) h_L(T) + x h_G(T)$$

$$= (1-x) h_L(T) + x (h_L(T) + l_v(T))$$

$$h(T) = x l_v(T) + c_L(T-T_0) + h_L(T_0)$$

8)

$$ds_L = c_L \frac{dT}{T} + \dots dP \quad \text{on néglige ce terme ici}$$

$$\int_{T_0}^T ds_L = \int_{T_0}^T c_L \frac{dT}{T}$$

$$s_L(T) = c_L \ln\left(\frac{T}{T_0}\right) + s_L(T_0)$$

9) deux méthodes :

→ soit, à partir du  $s_L(T)$  trouvé en 8), on vaporise  $x$  kg :

La vaporisation à  $T$ , sous la pression d'équilibre est réversible et pour un kg :  $\Delta s_{\text{vaporisation}} = \frac{l_v(T)}{T}$

(pas de création). Donc pour  $x$  kg :

$$s(T) = s_L(T) + x \frac{l_v(T)}{T}$$

→ soit, on utilise :

$$s(T) = (1-x) s_L(T) + x s_G(T)$$

$$= (1-x) s_L(T) + x \left( s_L(T) + \frac{l_v(T)}{T} \right)$$

$$= s_L(T) + x \frac{l_v(T)}{T}$$

$$s(T) = x \frac{l_v(T)}{T} + c_L \ln\left(\frac{T}{T_0}\right) + s_L(T_0)$$

remarque :

on obtient

$$s(T) = x \frac{l_v(T)}{T} + c_L \ln(T) + \underbrace{s_L(T_0) - c_L \ln(T_0)}$$

$$s(T) = x \frac{l_v(T)}{T} + c_L \ln(T) + \text{constante}$$

Cette dernière écriture est choquante car elle fait intervenir le ln d'une grandeur dimensionnée :  $\ln T$ . Ne pas oublier alors que la constante contient le  $\ln T_0$  complémentaire.

1c) → En partant des données pour le liquide (saturant)

$\theta$ (°C)	$h_L$ (kJ.kg <sup>-1</sup> )
35	146,34
50	208,96
100	418,42
185	784,17
285	1261,11

et de la formule en 5)

$$h_L(T) = c_L T \quad \underbrace{-c_L T_0 + h_L(T_0)}_{\text{constante}}$$

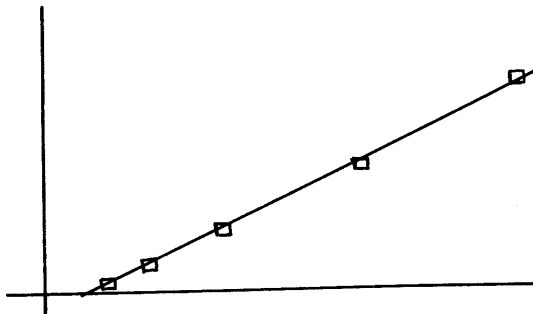
on réalise la régression linéaire

$$h_L(T) \text{ en fonction de } \theta \text{ (ou de } T = \theta + 273,15)$$

Le coefficient directeur donne  $c_L$  :

$$c_L = 4,4411 \text{ kJ kg}^{-1} \text{ K}^{-1}$$

Le coeff de corrélation est proche de 1 (corr = 0,99958).  
On peut estimer que les points sont "assez bien alignés".  
En visualisant sur l'écran de la calculatrice la droite:



Les points vérifient-ils l'hypothèse : on ne peut répondre à la question... Le dernier point est sans doute haut... Il faudrait tenir compte de la précision des mesures (tests statistiques...). Si les chiffres fournis sont tous significatifs, on peut "subodorer" que les écarts ne s'expliquent pas et que l'hypothèse proposée est fautive pour l'ensemble des 5 points.



11) on réalise la régression linéaire

$$h_v(T) = h_G(T) - h_L(T) \text{ en fonction de } T$$

on trouve

$$h_v(T) = A - B T$$

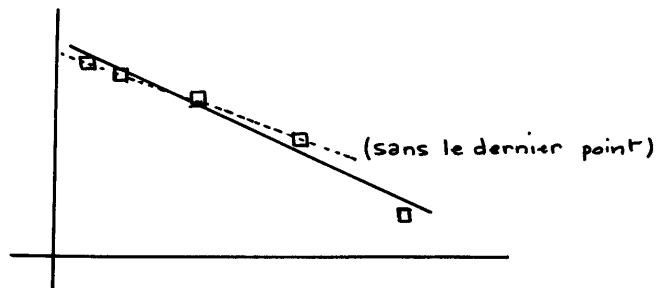
avec

$$A = 3548,4 \text{ kJ.kg}^{-1}$$

$$B = 3,5605 \text{ kJ.kg}^{-1} \text{ K}^{-1}$$

$$\text{corr} = -0,98964$$

$|\text{corr}| \simeq 1$  ... les points sont "assez bien alignés"



on peut se demander si le dernier point n'est pas à rejeter...  
Il faudrait faire des tests statistiques précis pour répondre à la question.

12) On connaît le volume massique

$$v = \frac{V}{m}$$

A.N.

$$v = \frac{10 \cdot 10^{-3}}{10 \cdot 10^{-3}}$$

$$v = 1,00 \text{ m}^3 \text{ kg}^{-1}$$

d'où à  $\theta = 100^\circ \text{C}$

$$x = \frac{v - v_L}{v_G - v_L}$$

A.N.

$$x = \frac{1,00 - 1,04 \cdot 10^{-3}}{1,673 - 1,04 \cdot 10^{-3}}$$

$$x = 59,7 \%$$

13) La détente de  $\theta$  à  $\theta'$  est isentropique donc :

$$\Delta'(x', T') = \Delta(x, T)$$

$$c \ln T' + l_v(T') \frac{x'}{T'} = c \ln T + l_v(T) \frac{x}{T}$$

$$x' = \left( c \ln \frac{T}{T'} + l_v(T) \frac{x}{T} \right) \frac{T'}{l_v(T')}$$

A.N.

$$x' = \frac{\left( 4,20 \ln \frac{373,15}{323,15} + \frac{(2671,44 - 418,42) 0,597}{373,15} \right) 323,15}{(2587,42 - 208,96)}$$

$$x' = 57,2\%$$

14) On veut que  $x_{\text{final}} = x_{\text{initial}} = x'$

$$\Delta'(x', T') = \Delta(x', T)$$

$$c \ln T' + l_v(T') \frac{x'}{T'} = c \ln T + l_v(T) \frac{x'}{T}$$

$$x' = \frac{c \ln \frac{T}{T'}}{\frac{l_v(T')}{T'} - \frac{l_v(T)}{T}}$$

A.N.

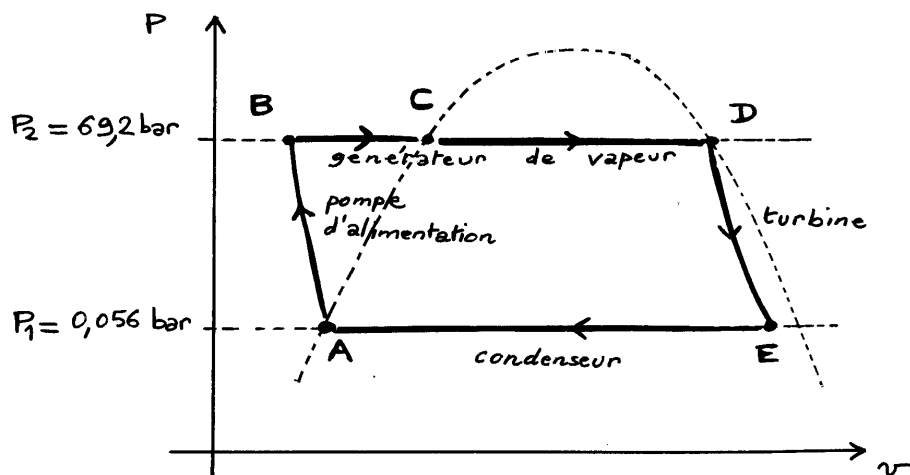
$$x' = \frac{4,20 \ln \frac{373,15}{323,15}}{\frac{2587,42 - 208,96}{323,15} - \frac{2671,44 - 418,42}{373,15}}$$

$$x' = 45,7\%$$

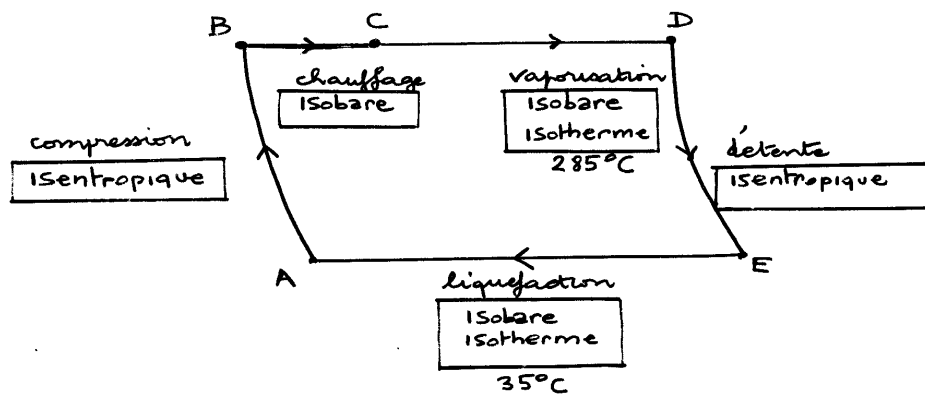
15)

$$h_{\text{sortie}} - h_{\text{entrée}} = w_{\text{technique}} + q$$

16) cycle décrit par l'eau :



17)



18)

$$\begin{aligned}
 h_A &= h_L(35^\circ\text{C}) = 146,34 \text{ kJ kg}^{-1} \\
 h_C &= h_L(285^\circ\text{C}) = 1261,11 \text{ kJ kg}^{-1} \\
 h_D &= h_G(285^\circ\text{C}) = 2768,83 \text{ kJ kg}^{-1}
 \end{aligned}$$

19)

On utilise la formule  $\Delta(x, T) = c \ln T + h_v(T) \frac{x}{T}$   
 avec  $x=0$  si liquide saturant  
 $x=1$  si vapeur saturante

$$\begin{aligned}
 \Delta_A &= c \ln T_1 \\
 &= 4,2 \ln(35 + 273,15)
 \end{aligned}$$

$$\Delta_A = 24,068 \text{ kJ kg}^{-1} \text{ K}^{-1}$$

$$\begin{aligned}\Delta_C &= c \ln T_2 \\ &= 4,2 \ln (285 + 273,15)\end{aligned}$$

$$\Delta_C = 26,563 \text{ kJ kg}^{-1} \text{ K}^{-1}$$

$$\begin{aligned}\Delta_D &= c \ln T_2 + l_v(T_2) \frac{1}{T_2} \\ &= 4,2 \ln (285 + 273,15) + \frac{2768,83 - 1261,11}{285 + 273,15}\end{aligned}$$

$$\Delta_D = 29,265 \text{ kJ kg}^{-1} \text{ K}^{-1}$$

La compression étant isentropique :

$$\Delta_B = \Delta_A = 24,068 \text{ kJ kg}^{-1} \text{ K}^{-1}$$

La détente étant isentropique :

$$\Delta_E = \Delta_D = 29,265 \text{ kJ kg}^{-1} \text{ K}^{-1}$$

2) En E, le système est diphasé :

$$\Delta_E = c \ln T_1 + \frac{l_v(T_1)}{T_1} x_E$$

$$x_E = \frac{(\Delta_E - c \ln T_1) T_1}{l_v(T_1)}$$

$$\text{A.N.} = \frac{(29,265 - 4,2 \ln 308,15)}{2560,67 - 146,34} 308,15$$

$$x_E = 66,3\%$$

Puis :

$$h_E = x_E h_G(T_1) + (1 - x_E) h_L(T_1)$$

$$h_E = 1747,57 \text{ kJ kg}^{-1}$$

2) Dans le condenseur, il n'y a pas de travail technique

$$h_A - h_E = q_{EA} + \cancel{W_{\text{techn}}}$$

$$q_{EA} = h_A - h_E$$

A.N.

$$q_{EA} = -1601,23 \text{ kJ kg}^{-1}$$

(négligé puisque dans le condenseur, le fluide perd de l'énergie thermique)

22) Pompe de A à B

$$\rightarrow dh = T ds + v dP$$

$\rightarrow$  La compression est isentropique

$$\begin{aligned} dh &= v dP && \text{avec } v \approx v_L \text{ constante} \\ &= v_L dP \end{aligned}$$

$$h_B - h_A = v_L (P_B - P_A)$$

$$h_B - h_A = v_L (P_2 - P_1)$$

A.N.  $v_L$  en  $\text{m}^3 \text{kg}^{-1}$   
 $P$  en Pascal ( $1 \text{ bar} \Rightarrow 10^5 \text{ Pa}$ )  
 $\Delta h$  est obtenu en  $\text{J kg}^{-1}$

$$\begin{aligned} h_B - h_A &= 10^{-3} (69,2 - 0,056) 10^5 \\ &= 6914,4 \text{ J kg}^{-1} \end{aligned}$$

$$h_B - h_A = 6,91 \text{ kJ kg}^{-1}$$

$$\rightarrow h_B = 153,25 \text{ kJ kg}^{-1}$$

$$\rightarrow ds = c_L \frac{dT}{T} - \alpha v_L dP$$

La compression est isentropique donc  $ds = 0$

$$\frac{dT}{T} = \frac{\alpha v_L}{c_L} dP$$

Les variations sont "petites", on peut donc écrire  
 (inutile d'intégrer puis faire ensuite un calcul approché)

$$\frac{\Delta T}{T} \approx \frac{\alpha v_L}{c_L} \Delta P$$

soit

$$\Delta T = \frac{\alpha v_L}{c_L} (P_2 - P_1) T_1$$

A.N.

$$= \frac{1,5 \cdot 10^{-4} \cdot 10^{-3} (69,2 - 0,056) \cdot 10^5 \cdot 308,15}{4,20 \cdot 10^3}$$

(attention:  $c_L$  en  $J \cdot kg^{-1} \cdot K^{-1}$ )

$$\Delta T = 0,076 \text{ K}$$

→ La variation d'enthalpie massique au niveau de la pompe est faible.  
L'élévation de température de l'eau liquide durant la compression est négligeable.

23) Il n'y a pas de travail technique dans le générateur de vapeur

$$q_{BD} = h_D - h_B$$

A.N.

$$= 2768,83 - 153,25$$

$$q_{BD} = 2615,58 \text{ kJ kg}^{-1}$$

24) Au cours d'un cycle

$$W + q_{\text{chaud}} + q_{\text{froid}} = 0$$

(on peut remarquer que sur un cycle  $W = W_{\text{techn}}$   
puisque  $\Delta(Pv) = 0$ )

$$W + q_{BD} + q_{EA} = 0$$

$$W = -(q_{BD} + q_{EA})$$

A.N.

$$W = -1014,35 \text{ kJ kg}^{-1}$$

négatif car le fluide fournit de l'énergie mécanique.

$$25) \quad \eta = \frac{-W}{q_{\text{chaud}}}$$

$$= \frac{1014,35}{2615,58}$$

$$\eta = 38,8 \%$$

"Rendement" de Carnot

$$\left. \begin{aligned} q_{\text{chaud}} + q_{\text{froid}} + W_{\text{reversible}} &= 0 \\ \frac{q_{\text{chaud}}}{T_{\text{chaud}}} + \frac{q_{\text{froid}}}{T_{\text{froid}}} &= 0 \end{aligned} \right\} \quad \begin{aligned} \eta_{\text{rev}} &= \frac{-W_{\text{rev}}}{q_{\text{chaud}}} \\ &= 1 + \frac{q_{\text{froid}}}{q_{\text{chaud}}} \\ &= 1 - \frac{T_{\text{froid}}}{T_{\text{chaud}}} \end{aligned}$$

$$\eta_{\text{rev}} = \frac{T_2 - T_1}{T_2}$$

A.N.

$$\eta_{\text{rev}} = 44,8 \%$$

On trouve  $\eta < \eta_{\text{rev}}$ .

En lien avec l'irréversibilité de la transformation BC (toutes les autres transformations étant réversibles).

On y chauffe l'eau liquide sous la pression 69,2 bar de 35,076 °C à 285 °C en utilisant une source à la température 285 °C.

26) On a vu en 24)

$$\begin{aligned} W &= -(q_{BD} + q_{EA}) \\ &= -(h_D - h_B + h_A - h_E) \\ &= \underbrace{(h_E - h_D)}_{W_{\text{tech turbine}}} + \underbrace{(h_B - h_A)}_{W_{\text{tech pompe}}} \end{aligned}$$

En négligeant le  $\Delta h_{AB}$  pompe, on vérifie que le seul travail est  $w_{\text{tech turbine}}$

remarque

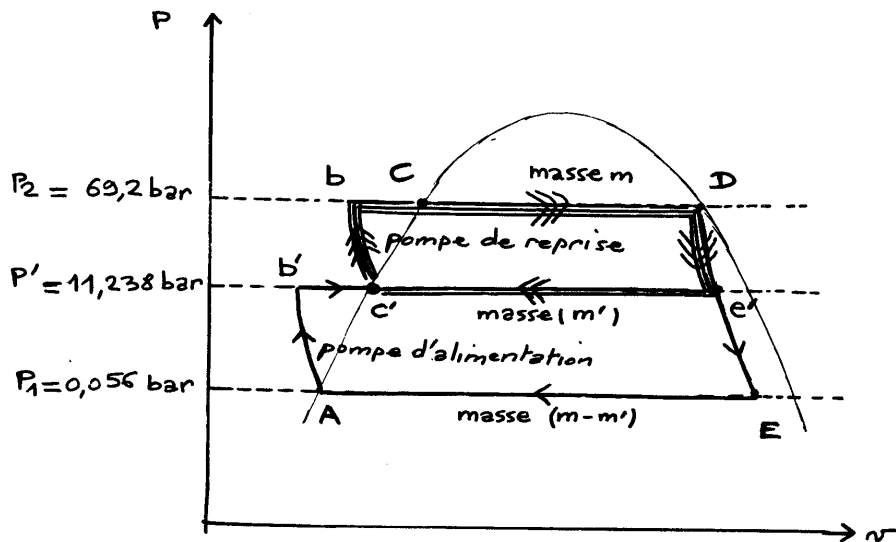
on supposant  $h_B = h_A$

on obtient

$$\eta = \frac{-(h_E - h_D)}{h_D - h_A}$$

$$\eta = 38,9\%$$

27)



→ On retrouve les points ACDE précédents.

→ b'e' correspond au réchauffeur

→  $T' = 185^\circ\text{C}$

28) A la fin de la deuxième détente, on se retrouve en E déjà étudié

$$x_2 = x_E = 66,3\%$$

$$h_2 = h_E = 1747,57 \text{ kJ kg}^{-1}$$



29) A la fin de la première détente, on se trouve en (e')  
avec  $s_{e'} = s_D = 29,265 \text{ kJ kg}^{-1} \text{ K}^{-1}$

$$x_{e'} = \frac{(s_{e'} - c \ln T')}{R_v(T')}$$

$$x_{e'} = x_{e'} = 81,1 \%$$

et  $h_{e'} = x_{e'} h_G(T') + (1 - x_{e'}) h_L(T')$

$$h'_{e'} = h_{e'} = 2401,66 \text{ kJ kg}^{-1}$$

30) Dans le réchauffe,  $\Delta H = 0$  avec

$$\Delta H = m' (h_{c'} - h_{e'}) + (m - m') (h_{c'} - h_{b'})$$

soit :

$$0 = m' (h_{c'} - h'_{e'}) + (1 - m') (h_{c'} - h_A)$$

(on fait l'approximation  $h_{b'} = h_A$  puisque l'on néglige l'enthalpie apportée par la pompe d'alimentation)

$$m' = \frac{h_{c'} - h_A}{h'_{e'} - h_A}$$

A.N.

$$m' = \frac{784,17 - 146,34}{2401,66 - 146,34}$$

$$m' = 0,283 \text{ kg (par kg)}$$

31) En négligeant les  $\Delta h$  des pompes

$$W_S = W_{\text{tech turbines}}$$

$$= m (h_{e'} - h_D) + (m - m') (h_E - h_{e'})$$

$$W_S = 1 (h'_{e'} - h_D) + (1 - m') (h_E - h'_{e'})$$

A.N.

$$W_S = -836,28 \text{ kJ kg}^{-1}$$

remarque :

On peut procéder comme dans la partie précédente

$$\begin{aligned} Q_{\text{chaud}} &= q_{bD} \\ &= h_D - h_b \\ &= h_D - h_{c'} \end{aligned}$$

en négligeant le  $\Delta h$  de la pompe de reprise

$$= 1984,56 \text{ kJ kg}^{-1}$$

$$\begin{aligned} Q_{\text{froid}} &= (1 - m') \\ &= (1 - m') (h_A - h_E) \\ &= -1148,38 \text{ kJ kg}^{-1} \end{aligned}$$

$$\begin{aligned} w_s &= - (Q_{\text{chaud}} + Q_{\text{froid}}) \\ &= -836,28 \text{ kJ kg}^{-1} \end{aligned}$$

32)

$$\eta_s = \frac{-w_s}{q_{bD}}$$

$$\boxed{\eta_s = 42,1 \%}$$

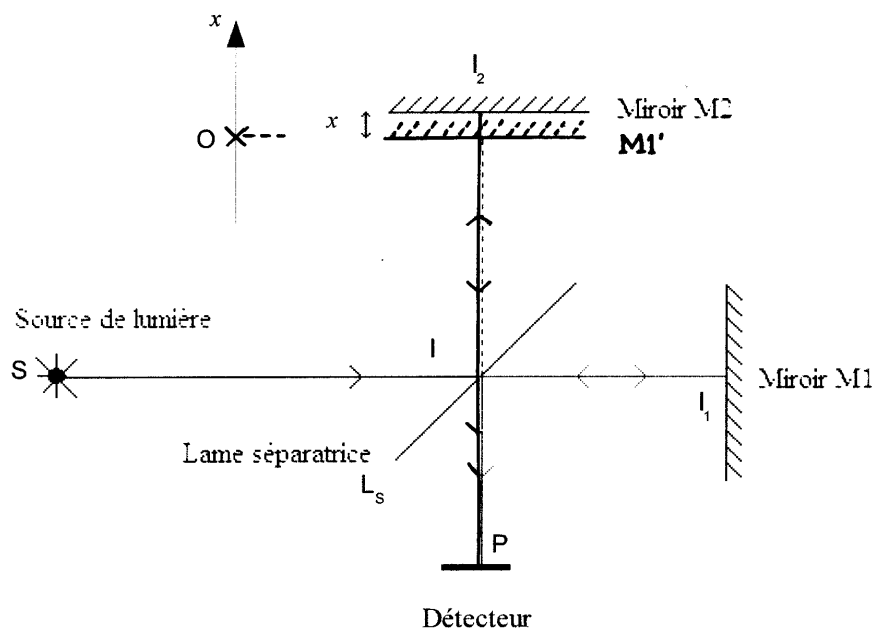
$$> \eta (= 38,9 \%)$$

car l'irréversibilité est moins grande en décomposant le réchauffage en deux étapes (b'c' et bc)

Bien entendu

$$\eta_s < \eta_{\text{rev Carnot}} (= 44,8 \%)$$

## spectrométrie interférentielle de Michelson



- 1) Le trajet 2 est plus long de  $x$  à l'aller et de  $x$  au retour.

Donc  $\delta = n_{\text{air}} \times (2x)$

Si on fait  $n_{\text{air}} = 1$ , alors :

$$\delta = 2x$$

3)  $\lambda_0 = 550 \text{ nm}$

raie verte ("vert clair")

$$\omega_0 = \frac{c}{\lambda_0}$$

A.N.  $= \frac{3 \cdot 10^8}{550 \cdot 10^{-9}}$

$$\omega_0 = 5,45 \cdot 10^{14} \text{ Hz}$$

3) On a

$$\begin{aligned}\varphi &= 2\pi p \\ &= 2\pi \frac{\delta}{\lambda} \\ &= \frac{2\pi \omega_0 \delta}{c} \\ &= 2\pi \omega_0 z\end{aligned}$$

en posant :  $z = \frac{\delta}{c}$

$$z = \frac{2x}{c}$$

Démonstration de la formule :

$$\psi_1 = \psi_0 \exp -j\omega t$$

$$\psi_2 = \psi_0 \exp j\varphi \exp -j\omega t$$

$$\psi = \psi_1 + \psi_2$$

$$= \psi_0 (1 + \exp j\varphi) \exp -j\omega t$$

$$\begin{aligned}\psi \psi^* &= \psi_0^2 (1 + \exp j\varphi) (1 + \exp -j\varphi) \\ &= 2\psi_0^2 (1 + \cos \varphi)\end{aligned}$$

$$I(z) = 2\psi_0^2 (1 + \cos 2\pi \omega_0 z)$$

$$I(0) = 2\psi_0^2 (1 + 1)$$

finalement

$$I(z) = \frac{I(0)}{2} (1 + \cos 2\pi \omega_0 z)$$

4)  $\lambda_0 = 643,8 \text{ nm}$

rouge

$$\begin{aligned}\omega_0 &= \frac{c}{\lambda_0} \\ &= \frac{3 \cdot 10^8}{643,8 \cdot 10^{-9}}\end{aligned}$$

$$\omega_0 = 4,66 \cdot 10^{14} \text{ Hz}$$

5)

$$\begin{aligned}dI &= \frac{dI(0)}{2} (1 + \cos 2\pi \omega_0 z) \\ &= \frac{I_2 d\omega}{2} (1 + \cos 2\pi \omega_0 z)\end{aligned}$$

$$\begin{aligned}
I &= \int_{\nu_0 - \frac{\Delta\nu}{2}}^{\nu_0 + \frac{\Delta\nu}{2}} \frac{A d\nu}{2} (1 + \cos 2\pi\nu z) \\
&= \frac{A}{2} \left( \Delta\nu + \frac{[\sin 2\pi\nu z]}{2\pi z} \right)_{\nu_0 - \frac{\Delta\nu}{2}}^{\nu_0 + \frac{\Delta\nu}{2}} \\
&= \frac{A}{2} \left( \Delta\nu + \frac{\sin 2\pi(\nu_0 + \frac{\Delta\nu}{2})z - \sin 2\pi(\nu_0 - \frac{\Delta\nu}{2})z}{2\pi z} \right) \\
&= \frac{A}{2} \Delta\nu \left( 1 + \frac{2 \sin \pi \Delta\nu z}{2\pi \Delta\nu z} \cos(2\pi\nu_0 z) \right) \\
I(z) &= \frac{A \Delta\nu}{2} \left( 1 + \text{sinc}(\pi \Delta\nu z) \cos(2\pi\nu_0 z) \right) \\
I(0) &= \frac{A \Delta\nu}{2} (1 + 1)
\end{aligned}$$

$$I(0) = A \Delta\nu$$

$$I(z) = \frac{I(0)}{2} (1 + \gamma_t(z) \cos(2\pi\nu_0 z))$$

$$\gamma_t(z) = \text{sinc}(\pi \Delta\nu z)$$

5) La fréquence du  $\cos(2\pi\nu_0 z)$ , la variable étant  $z$ , est égale à  $\nu_0$ .

La fréquence du  $\text{sinc}(\pi \Delta\nu z)$  est  $\frac{\Delta\nu}{2}$  ( $\ll \nu_0$ )

Au voisinage de  $z$ , le  $\text{sinc}$  (donc  $\gamma_t(z)$ ) varie peu quand  $\cos(2\pi\nu_0 z)$  varie. On peut y considérer  $\gamma_t(z)$  comme une constante.

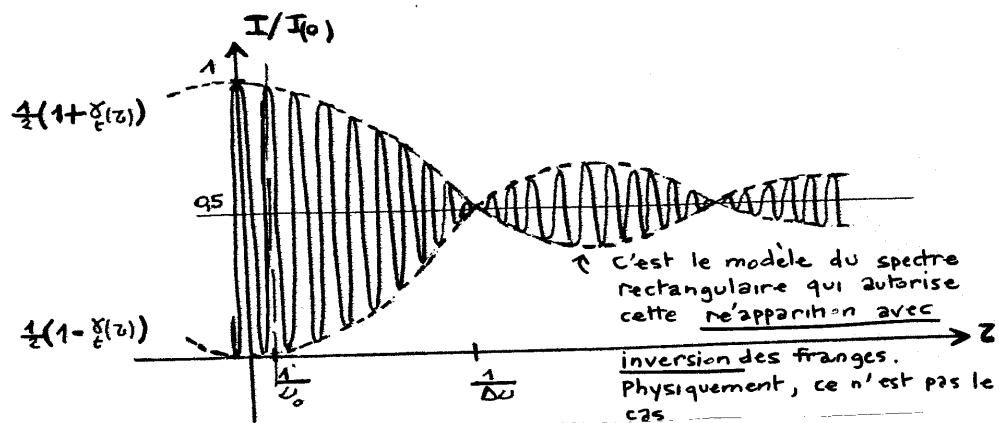
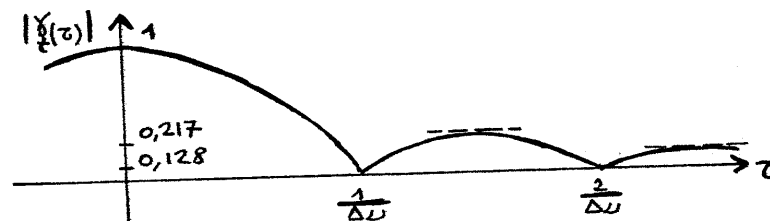
$$I_{\max}(z) = \frac{I(0)}{2} (1 + |\gamma_t(z)|)$$

$$I_{\min}(z) = \frac{I(0)}{2} (1 - |\gamma_t(z)|)$$

$$V(z) = \frac{I_{\max} - I_{\min}}{I_{\max} + I_{\min}}$$

$$V(z) = |\gamma_t(z)|$$

7) graphes :



8) → la première annulation a lieu pour  $z = \frac{1}{\Delta\nu}$   
donc

$$\Delta\nu = \frac{1}{z_{\text{annulation}}}$$

$$\Delta\nu = \frac{c}{2x_{\text{annulation}}}$$

$$\text{A.N.} \quad = \frac{3 \cdot 10^8}{2 \times 15,9 \cdot 10^{-2}}$$

$$\Delta\nu = 9,43 \cdot 10^8 \text{ Hz}$$

→ la longueur de cohérence

$$L_c = \frac{c}{\Delta\nu} \text{ ou } c z_{\text{annulation}}$$

$$L_c = (2x_{\text{annulation}})$$

$$L_c = 31,8 \text{ cm}$$

$$\rightarrow \Delta\lambda \frac{1}{2}$$

Pour des variations "petites", on utilise le calcul différentiel

$$\lambda = \frac{c}{\nu}$$

$$d\lambda = -c \frac{d\nu}{\nu^2}$$

$$= -\frac{\lambda^2}{c} d\nu$$

Ici  $\Delta\lambda$  et  $\Delta\nu$  désignent des grandeurs positives

$$\Delta\lambda = \frac{\lambda_0^2}{c} \Delta\nu$$

$$\Delta\lambda_{1/2} = \frac{\lambda_0^2}{L_t}$$

$$\text{A.N.} = \frac{(643,8 \cdot 10^{-9})^2}{31,8 \cdot 10^{-2}}$$

$$\Delta\lambda_{1/2} = 1,30 \cdot 10^{-12} \text{ m}$$

$$\Delta\lambda_{1/2} = 1,30 \text{ pm}$$

9) Doublet jaune du mercure

couleur jaune

$$\nu_0 = \frac{c}{\lambda_0}$$

$$= \frac{3 \cdot 10^8}{578 \cdot 10^{-9}}$$

$$\nu_0 = 5,19 \cdot 10^{14} \text{ Hz}$$

$$10) \quad I(\nu) = \frac{I_1(0)}{2} (1 + \cos 2\pi \nu \nu_1) + \frac{I_2(0)}{2} (1 + \cos 2\pi \nu \nu_2)$$

$$\text{avec } I_2(0) = I_1(0)$$

$$= \frac{I_1(0)}{2} \left( 2 + \underbrace{\cos 2\pi \nu \nu_1 + \cos 2\pi \nu \nu_2}_{2 \cos\left(2\pi \nu \frac{\nu_2 - \nu_1}{2}\right) \cos\left(2\pi \nu \frac{\nu_2 + \nu_1}{2}\right)} \right)$$

$$\text{avec } \nu_1 = \nu_0 - \frac{\Delta\nu}{2}$$

$$\nu_2 = \nu_0 + \frac{\Delta\nu}{2}$$

$$I(z) = I_{1(0)} (1 + \cos(\pi z \Delta\nu) \cos(2\pi z \nu_0))$$

$$I(0) = I_{1(0)} (1 + 1)$$

$$I(0) = 2 I_{1(0)}$$

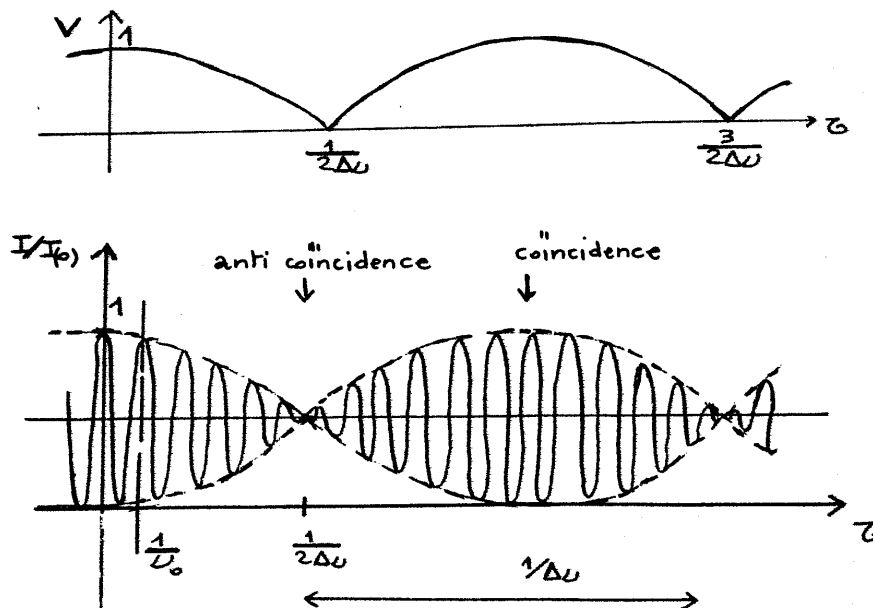
$$I(z) = \frac{I(0)}{2} (1 + \gamma_e \cos(2\pi z \nu_0))$$

$$\gamma_e = \cos(\pi z \Delta\nu)$$

11)

$$V = |\gamma_e|$$

$$V(z) = |\cos(\pi z \Delta\nu)|$$



12) période de  $\gamma_e$  :  $\pi T \Delta\nu = 2\pi$  soit  $T = \frac{2}{\Delta\nu}$

période de  $|\gamma_e|$  :  $T = \frac{1}{\Delta\nu}$



période de  $\cos 2\pi \nu \Delta \nu$  :  $2\pi T \nu_0 = 2\pi$  soit  $T = \frac{1}{\nu_0}$

on donne  $\frac{\frac{1}{\Delta \nu}}{\frac{1}{\nu_0}} = 277$

$$\Delta \nu = \frac{\nu_0}{277}$$

A.N.  $= \frac{5,19 \cdot 10^{14}}{277}$

$$\Delta \nu = 1,87 \cdot 10^{12} \text{ Hz}$$

et  $L_t = \frac{c}{\Delta \nu}$

$$= \frac{c}{\nu_0} 277$$

$$L_t = 277 \lambda_0$$

A.N.  $= 277 \times 578 \text{ nm}$

$$L_t = 0,16 \text{ mm}$$

et  $\Delta \lambda = \frac{\lambda_0^2}{L_t}$

$$\Delta \lambda = \frac{\lambda_0}{277}$$

A.N.  $= \frac{578 \text{ nm}}{277}$

$$\Delta \lambda = 2,09 \text{ nm}$$

13) Les deux raies du doublet sont elles-mêmes non monochromatiques. On peut modéliser chaque raie par un profil rectangulaire de largeur  $\delta \nu$

$$I = \frac{I_1(0)}{2} (1 + \text{sinc}(\pi \nu \delta \nu_1) \cos(2\pi \nu \nu_1)) + \frac{I_2(0)}{2} (1 + \text{sinc}(\pi \nu \delta \nu_2) \cos(2\pi \nu \nu_2))$$

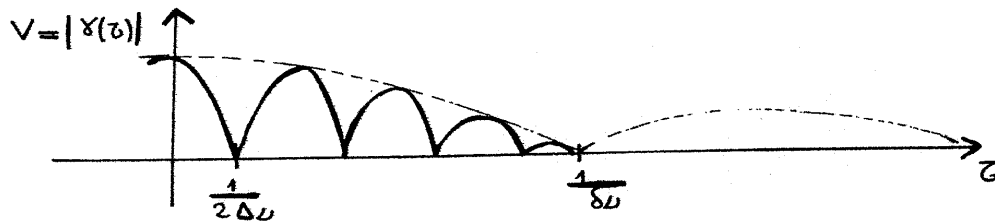
en supposant  $I_1(0) = I_2(0) (= \frac{I(0)}{2})$

$$\delta \nu_1 = \delta \nu_2 = \delta \nu$$

$$I = \frac{I(0)}{2} (1 + \gamma(z) \cos 2\pi z \Delta u)$$

avec

$$\gamma(z) = \text{sinc}(\pi z \delta u) \cos(\pi z \Delta u) \quad (\delta u < \Delta u)$$



$$\begin{aligned}
 14) \quad I &= \frac{I_1(0)}{2} (1 + \cos(2\pi z \Delta u_1)) + \frac{I_2(0)}{2} (1 + \cos(2\pi z \Delta u_2)) \\
 &= \frac{I_1(0)}{2} (1 + \cos(2\pi z \Delta u_1)) + \mu \frac{I_1(0)}{2} (1 + \cos(2\pi z \Delta u_2)) \\
 &= \frac{I_1(0)}{2} (1 + \mu) + \frac{I_1(0)}{2} (\cos(2\pi z \Delta u_1) + \mu \cos(2\pi z \Delta u_2)) \\
 &= \frac{I_1(0)}{2} (1 + \mu) \left[ 1 + \frac{\cos(2\pi z \Delta u_1) + \mu \cos(2\pi z \Delta u_2)}{1 + \mu} \right] \\
 &= \frac{I_1(0)}{2} (1 + \mu) \left[ 1 + \text{Re} \left\{ \frac{\exp(j 2\pi z \Delta u_1) + \mu \exp(j 2\pi z \Delta u_2)}{1 + \mu} \right\} \right] \\
 I &= \frac{I_1(0)}{2} (1 + \mu) \left[ 1 + \text{Re} \left\{ \frac{\exp(-j 2\pi z \frac{\Delta u}{2}) + \mu \exp(j 2\pi z \frac{\Delta u}{2})}{1 + \mu} \exp(j 2\pi z \Delta u) \right\} \right]
 \end{aligned}$$

$$I(0) = I_1(0) (1 + \mu)$$

$$\gamma_t(z) = \underbrace{\frac{1}{1+\mu}}_{C_1} \exp(-j 2\pi z \Delta u) + \underbrace{\frac{\mu}{1+\mu}}_{C_2} \exp(j 2\pi z \Delta u)$$

d'où

$$I = \frac{I(0)}{2} \left[ 1 + \text{Re} \left\{ \gamma_t(z) \exp(j 2\pi z \Delta u) \right\} \right]$$

15)

$$\longrightarrow \operatorname{Re}\{\underline{x}(z)\} = C_1 \cos(\pi \Delta \omega z) + C_2 \sin(\pi \Delta \omega z)$$

$$\boxed{\operatorname{Re}\{\underline{x}(z)\} = \cos(\pi \Delta \omega z)}$$

$$\longrightarrow \operatorname{Im}\{\underline{x}(z)\} = -C_1 \sin(\pi \Delta \omega z) + C_2 \cos(\pi \Delta \omega z)$$

$$\boxed{\operatorname{Im}\{\underline{x}(z)\} = \frac{\mu-1}{\mu+1} \sin(\pi \Delta \omega z)}$$

$$\longrightarrow |\underline{x}(z)| = \sqrt{\cos^2(\pi \Delta \omega z) + \left(\frac{\mu-1}{\mu+1}\right)^2 \underbrace{\sin^2(\pi \Delta \omega z)}_{1 - \cos^2(\pi \Delta \omega z)}}$$

$$\boxed{|\underline{x}(z)| = \sqrt{\left(\frac{\mu-1}{\mu+1}\right)^2 + \frac{4\mu}{(\mu+1)^2} \cos^2(\pi \Delta \omega z)}}$$

$$\longrightarrow \alpha_t = \arg\left(\cos(\pi \Delta \omega z) + j \frac{\mu-1}{\mu+1} \sin(\pi \Delta \omega z)\right)$$

$$\text{avec } \tan(\alpha_t) = \frac{\mu-1}{\mu+1} \tan(\pi \Delta \omega z)$$

16) On écrit le complexe  $\underline{x}(z)$  sous forme exponentielle.

$$I = \frac{I(0)}{2} \left[ 1 + \operatorname{Re} \left\{ \underbrace{|\underline{x}(z)| \exp j\alpha_t}_{\cos(2\pi \omega_0 z + \alpha_t)} \exp(j2\pi \omega_0 z) \right\} \right]$$

$$\boxed{I = \frac{I(0)}{2} \left[ 1 + |\underline{x}(z)| \cos(2\pi \omega_0 z + \alpha_t) \right]}$$

$$\text{d'où } I_{\max} = \frac{I(0)}{2} (1 + |\underline{x}|) \text{ et } I_{\min} = \frac{I(0)}{2} (1 - |\underline{x}|)$$

$$\boxed{V(z) = |\underline{x}(z)|}$$

17)

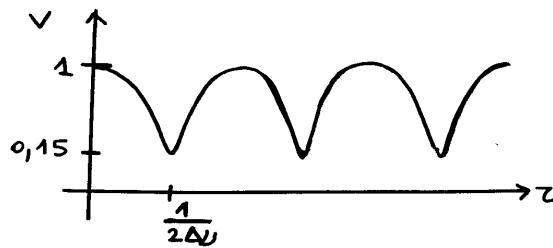
$$V_M \text{ pour } \cos^2(\pi \Delta \omega z) = 1$$

$$V_m \text{ pour } \cos^2(\pi \Delta \omega z) = 0$$

$$V_M = 1$$

$$V_m = \left| \frac{\mu-1}{\mu+1} \right|$$

graphe avec par exemple  $V_m = 0,15$



remarque

$V_m = 0,15$  deux possibilités

$$\frac{1-M}{1+M} = 0,15 \quad \text{et} \quad M = 0,74$$

ou

$$\frac{1-M}{1+M} = -0,15 \quad \text{et} \quad M = \frac{1}{0,74} = 1,35$$

Le signe de  $\Delta L$  n'intervenant pas, on choisit ici une raie 2 plus faible soit  $M \leq 1$   
 et  $V = \frac{1-M}{1+M}$ .

18)  $M=0$  il n'y a qu'une seule raie

$$V = 1$$

$$I = \frac{I(0)}{2} (1 + \cos(2\pi z \Delta L))$$

$\uparrow$  noté  $L = \frac{\Delta L}{2}$

d'où :

$$\alpha = -\pi z \Delta L$$

$M=1$  doublet avec deux raies de même intensité

$$V = |\cos(\pi z \Delta L)|$$

$$\alpha = 0 \quad \text{ou} \quad \pi$$

$\uparrow$  inversion des franges

19)

$$\nu_0 = \frac{c}{\lambda_0}$$

$$= \frac{3 \cdot 10^8}{656,3 \cdot 10^{-9}}$$

$$\nu_0 = 4,57 \cdot 10^{14} \text{ Hz}$$

20) Le premier minimum de visibilité correspond à  $\tau = \frac{1}{2\Delta\omega} = \frac{2\pi}{c}$   
donc

$$\Delta\omega = \frac{c}{4x_{\text{annulation}}}$$

A.N.,  $= \frac{3 \cdot 10^8}{4 \times 8,5 \cdot 10^{-3}}$

$$\Delta\omega = 8,82 \cdot 10^9 \text{ Hz}$$

$$\Delta\lambda = \frac{\lambda_0^2 \Delta\omega}{c} \quad (\text{cf } 8) )$$

$$\Delta\lambda = \frac{\lambda_0^2}{4x_{\text{annulation}}}$$

A.N.,  $= \frac{(656,3 \cdot 10^{-9})^2}{4 \times 8,5 \cdot 10^{-3}}$

$$\Delta\lambda = 12,7 \text{ pm}$$

21) on a décidé de faire  $\mu < 1$   
(et  $\omega$  raie plus faible supérieur à l'autre raie)

$$V = \frac{1-\mu}{1+\mu} = 0,15$$

$$\mu = 0,74$$

Au 1<sup>er</sup> minimum de visibilité :  $\tau = \frac{1}{2\Delta\omega}$

$$\begin{aligned} \alpha_t &= \arg(\cos(\pi\Delta\omega\tau) + j\left(\frac{\mu-1}{\mu+1}\right)\sin(\pi\Delta\omega\tau)) \\ &= \arg(\underbrace{\cos\left(\frac{\pi}{2}\right)}_{\text{nul}} - j \underbrace{0,15 \sin\left(\frac{\pi}{2}\right)}_1) \end{aligned}$$

$$\alpha_t = -\frac{\pi}{2}$$